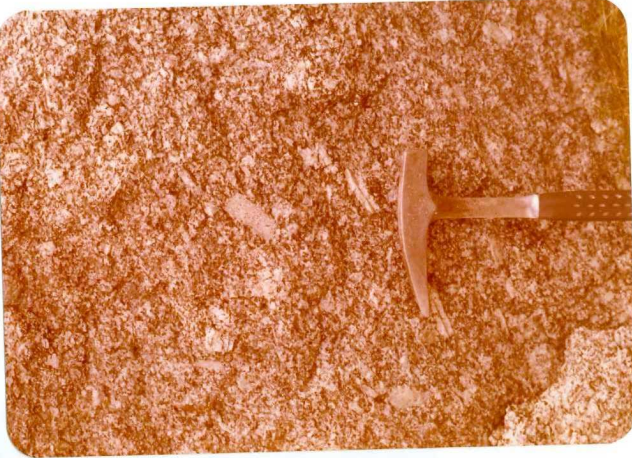
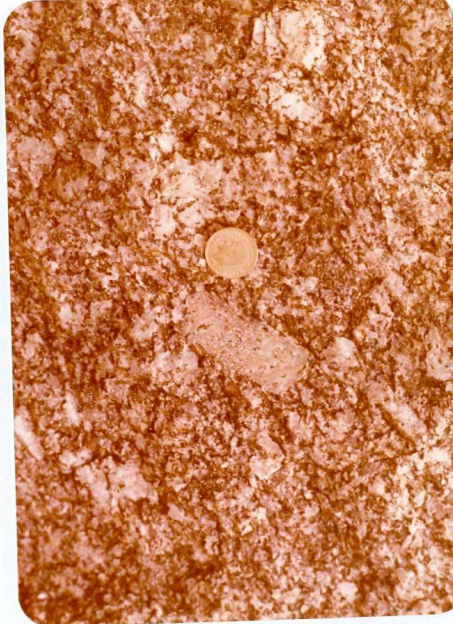




Diclasado subhorizontal en la granodiorita tardía; facies ($2\gamma\eta2,3$) del plutón de Porriño (Cantera al N de Ginzo) (Estación RN-12)



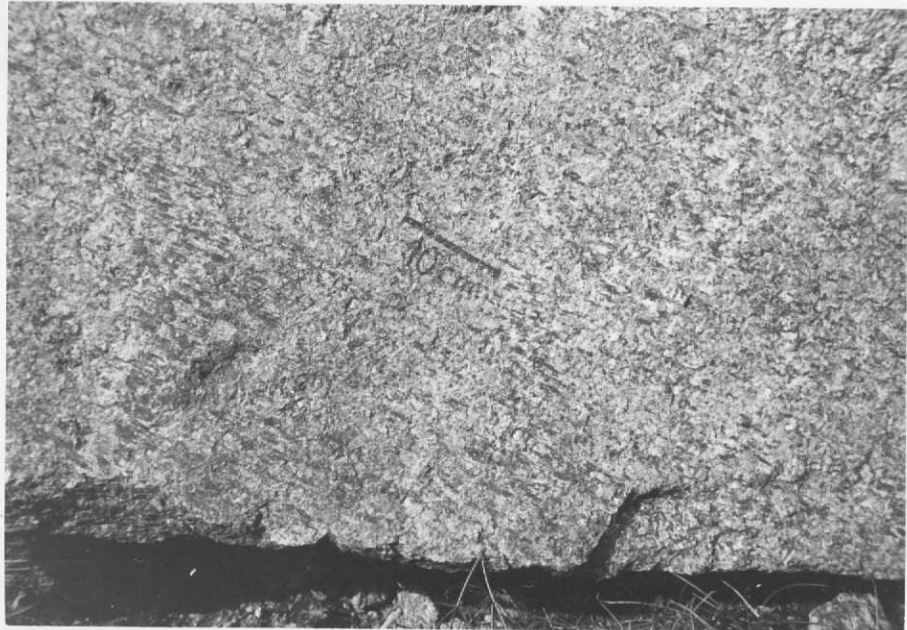
Textura de grano grueso con tendencia a porfídica, en la facies gris ($2 \gamma \eta^2$)³ del "granito de Porriño" (Angulo SE de la Hoja. (Estación RN-13).



Detalie de fenocristal de plagioclasa con inclusión de pequeños cristales de biotita.
Facies de granodiorita tardía (γ_2 , μ^2 , β). (Estación RN-130).



Ortogneis de biotita con marcada heterogeneidad de grano y textura planar. Al SW del Aeropuerto de Peinador. (Estación RN-160).



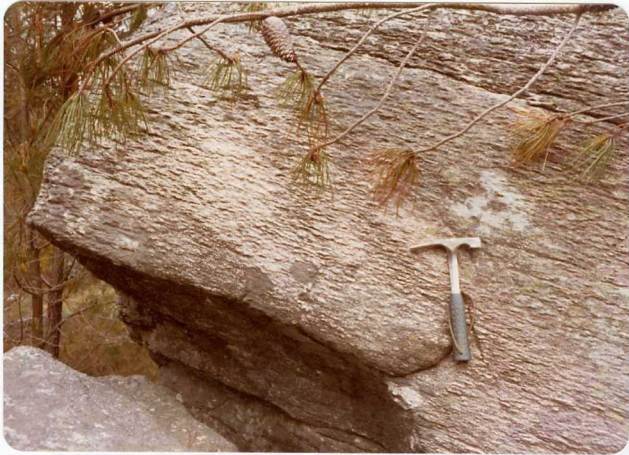
Estrías de falla con recrecimiento tardío de minerales ferromagnesianos, en un bloque de granodiorita tardía (Plutón de Porriño)(Estación RN-20).



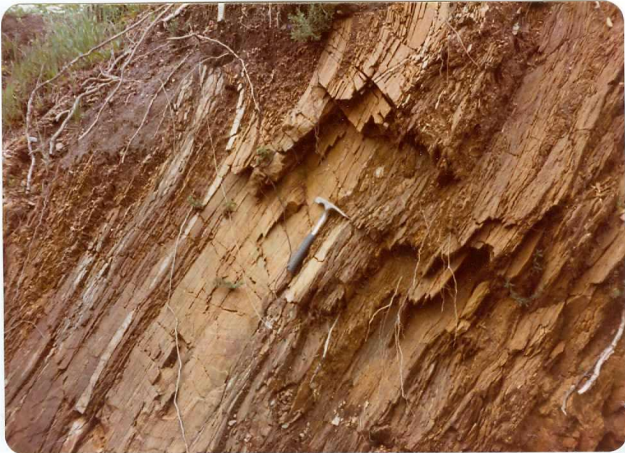
Cantera en granito inequigranular rosado, facies ($\gamma_2,3$) del
plutón de granodiorita tardía.(Estación RN-20).



Textura inequigranular en la facies rosa ($2\gamma^{2,3}$) del “granito de Porriño”. (Angulo SE de la Hoja). (Estación RN-22).



Afloramiento de ortogneis de biotita ($\tilde{\gamma}_b^2$) en el monte Domayo (Península de Morrazo). La erosión superficial evidencia la textura planar de la roca. (Estación RN-228).



Aspecto de la serie esquistosa del Complejo Cabo d'Home - La Lanzada. Se aprecian pequeños diques de cuarzo subconcordantes con la esquistosidad y también cortándola (Región N de la Hoja) (Estación RN-240).



Dos aspectos panorámicos de la morfología de los penedos, en la zona N del plutón de granodiorita tardía. (Estación RN-25).

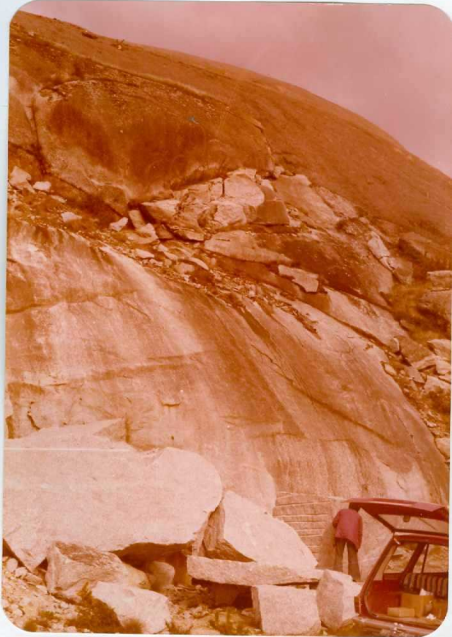


Bloque de roca en el que se aprecia la intrusión de granodioritas tardías (parte superior de la foto) por un dique aplítico. (Zona inferior). Borde N del plutón de Porriño. (Estación RN-26)



Aspecto de un afloramiento de granito de dos micas, variedad "ala de mosca" (γ_b^2); la alteración de la roca es considerable. (Carretera de Puenteareas a Pazos de Borbén).(Estación RN-272).

Morfología redondeada de penedos
en granito inequigranular rosado ($2\gamma^{2,3}$);
borde N del plutón de granodiorita
tardía de Porriño. (EStación RN-274).





Textura gnéisica con grandes glándulas de feldespato y bandedo micáceo.
Gneis glandular ($N1 \xi^2$) al E de Redondela. (Estación RN-370).



Aspectos de campo, general y de-talle, de un afloramiento de gneis glandular ($N_1 \xi^2$) situado al E de Redondela. (Estación RN-371).





Aspectos de campo, general y de-talle, de un afloramiento de gneis glandular ($N_1 \zeta^2$) situado al E de Redondela. (Estación RN-371).



Aspecto de una floramiento de granodiorita precoz en el borde SW de la Hoja.
Se acusa la foliación cataclástica de la roca. (Estación RN-372).



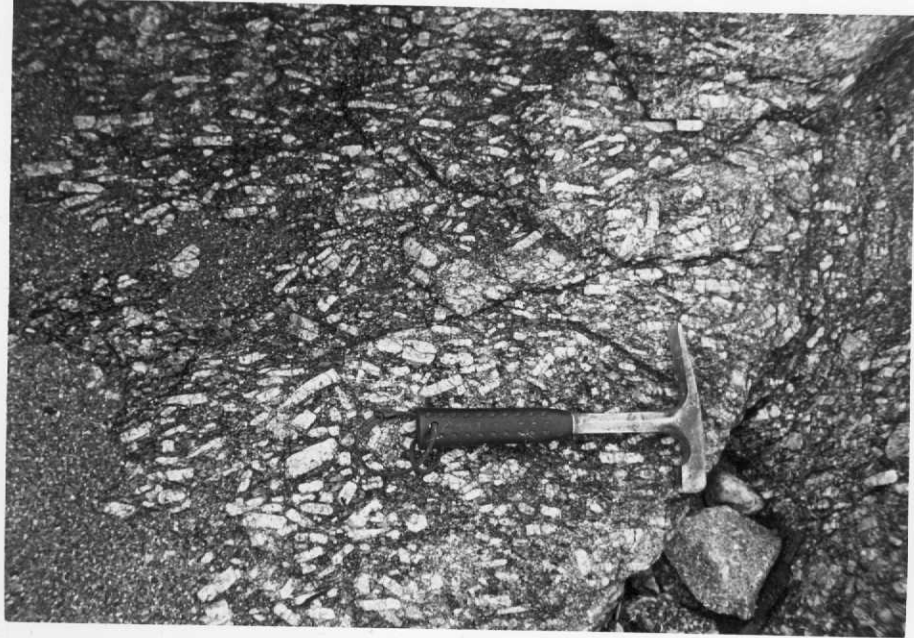
Panorama mostrando la morfología en penedos del sector N del macizo granodiorítico de Porriño (granitoides precoces, $2\gamma^2,3$). (Estación RN-373).



Morfología en "corteza de pan", consecuencia de la meteorización superficial.
Facies de granito inequigranular ($2\gamma^{2,3}$) del Plutón de Porriño. (Estación RN-374).



Vista estereográfica de los penedos de granodiorita precoz, en la zona próxima al contacto N del plutón de Porriño con el granito de dos micas (facies “ala de mosca”). Angulo SE de la Hoja (Est. RN - 5).



Textura porfídica en granodiorita precoz. Se puede observar el gran tamaño de los fenocristales y su orientación (Playa Loureido) (Estación RN-65).



Granodiorita porfídica ($\gamma\eta_b^2$) con fenocristales orientados de feldespato, muy alargados (Playa de Beloso, al NW de la Hoja) (Estación RN-67).



Detalle del tamaño de los megacristales y de la textura de las granodioritas precoces ($\gamma\eta^2$) en el extremo W de la Hoja (Península de Morrazo). (Estación RN-78).



Afloramiento de granodiorita precoz ($\gamma\eta^2$) con megacristales. (Península de Morrazo).
(Estación RN-78a).



Granodiorita porfídica ($\gamma\eta_b^2$) con megacristales orientados de gran talla y mesotaxis rica en biotita (Cra. de Cangas a Aldán) (Estación RN-78b).



Detalle de textura porfídica en las granodioritas precoces ($\gamma\eta_b^2$). (Cra. de Cangas a Aldán) (Estación RN-78C).



Estación RN-79. Dos aspectos, general y de detalle de relictos metasedimentarios intruidos por granito de dos micas. Cantera en la Carretera de Domayo a Moaña (Península de Morrazo).